

مطالعه پارامتری و تحلیل عددی کمپرسور بازتولیدکننده با پره‌های آیرودینامیکی متقارن، برای بهبود عملکرد*

مقاله پژوهشی

جعفر نژادعلی^(۱)

چکیده کمپرسورها یا دمنده‌های بازتولیدکننده، از نوع کمپرسورهای دینامیکی دوار هستند و قابلیت تولید هد بالا در دبی جریان پایین را دارند و منحنی‌های عملکرد با مشخصات بسیار پایداری دارند. در این مقاله، به بررسی عملکرد کمپرسورهای بازتولیدکننده با پره‌های آیرودینامیکی به روش آزمایشگاهی و عددی پرداخته شده است. با استفاده از شبیه‌سازی عددی جریان سیال، اثر استفاده از پره‌های آیرودینامیکی متقارن، تعداد پره‌ها و نیز ارتفاع پره‌ها بر کارایی و عملکرد کمپرسور تحلیل شد. با توجه به پیچیدگی الگوی جریان در این نوع از توربوماشین‌ها، مدل توربولانسی SST به کار گرفته شده است. برای ارائه نتایج از اعداد بی‌بعد استفاده شده است تا قابلیت تعمیم و بایگانی داشته باشند. نتایج نشان داد که کاهش ارتفاع پره از ۳۴ میلی‌متر به ۲۸ میلی‌متر، سبب کاهش نسبت فشار و نیز افت بازدهی می‌شود. مطالعه اثر تعداد پره‌ها در نقطه طراحی نشان داد که بیشترین بازدهی در نسبت گام به وتر ۰.۳۶ اتفاق می‌افتد. پره‌های آیرودینامیکی با زوایای ورودی و خروجی یکسان در ۵ زاویه مختلف ۲۰، ۳۰، ۴۰، ۵۰ و ۶۰ درجه مطالعه شدند. براساس آنالیز رگرسیون مشخص شد که زاویه بهینه برای پره‌های آیرودینامیکی متقارن، ۴۶ درجه است.

واژه‌های کلیدی کمپرسور بازتولیدکننده؛ ارتفاع پره، پره آیرودینامیکی متقارن، نسبت گام به وتر، شبیه‌سازی عددی جریان

مقدمه

خروجی، ناحیه حائل و یک محفظه جریان هستند. کمپرسورهای بازتولیدکننده از یک پروانه چرخان آزاد، همچون سایر انواع توربو کمپرسورها استفاده می‌کنند. پروانه می‌تواند در یک طرف یا در هر دو سمت پیرامون خود دارای پره باشد. این پره‌ها به همراه کانال حلقوی جریان‌هایی مارپیچی ایجاد می‌کنند که مکرر از بین پره‌ها عبور می‌کند و به انرژی آن‌ها افزوده می‌شود. قسمت‌های ورودی و خروجی سیستم لوله‌های خارجی را به کانال جریان متصل می‌کند. سیال از طریق قسمت ورودی وارد کانال جریان می‌شود. این قسمت طوری ساخته شده است که بتواند یک جریان مارپیچی را در کانال حلقوی ایجاد کند. سیال با فشار زیاد از قسمت تخلیه خارج می‌شود. در واقع، همان‌طور که در شکل (۱) مشاهده می‌شود، طراحی این توربوماشین‌ها به گونه‌ای است که

کمپرسورها ابزاری مکانیکی هستند که می‌توانند فشار گاز را با کاهش حجم افزایش دهند. کمپرسورهای بازتولیدکننده (Regenerative Flow Compressors) یکی از انواع کمپرسورها هستند که با نام کانال جانبی نیز شناخته می‌شوند. کمپرسورهای بازتولیدکننده از نوع کمپرسورهای روتادینامیک هستند و به دلیل آن‌که سرعت مخصوص پایینی دارند، قابلیت تولید هد بالا در دبی جریان پایین را دارند و منحنی‌های عملکرد با مشخصات بسیار پایداری دارند [1]. این کمپرسورها می‌توانند نسبت فشاری برابر با یک کمپرسور چندطبقه، البته با یک روتور ایجاد کنند.

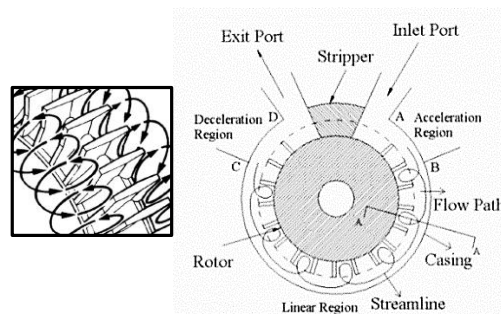
قسمت‌های مختلف کمپرسور بازتولیدکننده شامل چرخ یا پروانه، قسمت ورودی، قسمت تخلیه یا

* تاریخ دریافت مقاله ۱۳۹۹/۱۰/۲۲ و تاریخ پذیرش آن ۱۴۰۰/۳/۲ می‌باشد.

اصول عملکردی ماشین هستند. این تلفات شامل توربولانس و تلفات اصطکاکی، تلفات شوک، تلفات نشت از استریپر و تلفات ناشی از فضاها کوچک است. با وجود بازدهی پایین کمپرسورهای بازتولیدکننده، مزایایی از قبیل سادگی نسبی و مشخصات عملکردی پایدار آنها، نبود سایش و خوردگی، نیازداشتن به روغن کاری و نیز نبود پدیده سرج و ناپایداری استال، در قیاس با سایر توربوماشینها و ماشینهای جابه‌جایی مثبت سبب شده است این نوع از توربوماشینها کاربردهای گسترده‌ای در صنایع شیمیایی، نفت، غذایی و هسته‌ای داشته باشند. تکرار کنش پره‌های چرخ بر سیال، به صورت چندمرحله‌ای سبب می‌شود کمپرسورهای بازتولیدکننده نسبت تراکم بالایی را در یک طبقه ایجاد کنند [3,4].

دو تئوری اصلی که برای پیش‌بینی عملکرد توربوماشینهای بازتولیدکننده استفاده شده است، شامل نظریه جریان توربولانس و نظریه تبادل ممتوم است [4]. بررسی‌های انجام‌شده نشان داد که این تئوری‌ها با فیزیک مسئله سازگاری دارند [5]. به مرور و با شدت گرفتن کارهای آزمایشگاهی، محققان تئوری تبدیل ممتوم را به‌عنوان دقیق‌ترین نظریه معرفی کردند. نظریه تبادل ممتوم ویلسون برای توربوماشینهای بازتولیدکننده با پره‌های شعاعی ارائه شده بود. در سال‌های بعد اصلاحاتی روی نظریه تبادل ممتوم به‌دست محققان انجام شد تا برای ساختارهای مختلف توربوماشینهای بازتولیدکننده استفاده شود [6-9]. بیشتر تئوری‌های پیشنهادشده بر مبنای فرض تراکم‌ناپذیری سیال ارائه شدند. تئوری‌های ارائه‌شده بر مبنای فرض تراکم‌پذیری سیال بسیار اندک‌اند. بهترین آنها مربوط به تئوری ارائه‌شده راحیل و انگدا است که با توسعه نظریه ویلسون به دست آمد [10]. البته برای کمپرسورهای بازتولیدکننده با پره‌های آیرودینامیکی که اولین بار سیکس اسمیت و آلتمن معرفی کردند نیز تئوری‌هایی با فرض جریان تراکم‌پذیر ارائه شد [4,11]. تئوری دیگری

جریان سیال پس از ورود به ماشین به صورت تکرارشونده وارد پره‌ها و از آن خارج می‌شود. با هر بار ورود به پره‌ها، روی سیال کار انجام می‌شود و سبب افزایش فشار و سرعت مماسی آن خواهد شد. به دلیل وجود گرادیان فشار مماسی حول محیط، سرعت مماسی جریان سیال طی مسیر آن از خروجی پره تا ورودی پره بعدی کاهش یافته و جهت آن معکوس می‌شود. این چرخه ادامه می‌یابد تا سیال از ناحیه خروجی، عبور کند. برای جلوگیری از اختلاط جریان پرفشار خروجی با سیال کم‌فشار در ناحیه ورودی، حائلی بین ورودی و خروجی قرار می‌گیرد که دیوار حائل (*Stripper*) نام دارد. فقط سیالی که بین پره‌ها قرار دارد می‌تواند از استریپر عبور کند. سعی می‌شود تا فضای بین استریپر و پروانه حداقل باشد تا از نشتی بین قسمت پرفشار و کم‌فشار جلوگیری شود. استریپر سیال را مجبور می‌کند از قسمت تخلیه خارج شود؛ همچنین سبب استقرار و نگهداری الگوی جریان تکرارشونده می‌شود.



شکل ۱ قسمت‌های مختلف یک کمپرسور بازتولیدکننده و نحوه حرکت سیال [2]

کمپرسورهای بازتولیدکننده از نظر مشخصات عملکردی شبیه به کمپرسورهای جابه‌جایی مثبت هستند و برای کاربردهایی که نیاز به هد بالا در دبی جریان پایین است، استفاده می‌شوند. یکی از نقاط ضعف این کمپرسورها، داشتن راندمان هم‌دمای پایین است (کمتر از ۵۰ درصد). این بازده پایین به دلیل وجود تلفات متعددی است که در ارتباط مستقیم با شکل هندسی و

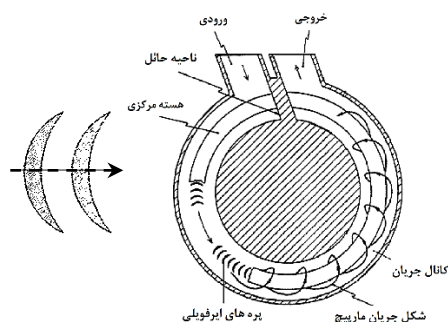
شبيه‌سازی عددی جریان سیال تحلیل و نتایج را با نتایج تئوری و آزمایشگاهی مقایسه کردند. همچنین آن‌ها دریافتند که بهترین زاویه ورودی برای پره ۱۲۵ درجه است [19]. گریفینی و همکاران جریان سیال در یک کمپرسور بازتولیدکننده با پره‌های آیرودینامیکی در یک سو را با کمک یک کد تجاری تحلیل عددی کردند و رهنمودهایی برای طراحی بهتر ارائه کردند [20]. ژانگ و همکاران اثر جریان دوفازی گازمایع را بر عملکرد یک پمپ بازتولیدکننده ارزیابی کردند [21]. در تازه‌ترین مطالعات، مرادی و همکاران استفاده از کمپرسور بازتولیدکننده به صورت معکوس را به عنوان جایگزین برای شیر انبساطی در سیکل ارگانیک رانکین (ORC) تحلیل کردند [22]. همچنین کانتینی و همکارش استفاده از پمپ بازتولیدکننده به جای توربین را به صورت عددی مطالعه و منحنی‌های عملکرد پمپ به صورت معکوس را ارائه کردند [23].

باتوجه به شکل پرها و مقطع کانال جریان، ساختارهای مختلفی برای کمپرسورهای بازتولیدکننده وجود دارد. یکی از ساختارها، کمپرسور بازتولیدکننده با پره‌های آیرودینامیکی است. به دلیل چرخش منظم‌تر جریان و کاهش تلفات، کمپرسور بازتولیدکننده با پره‌های آیرودینامیکی نسبت به سایر توربوماشین‌های بازتولیدکننده عملکرد بهتری دارد. در این کمپرسورها، پره‌های رایج شعاعی به وسیله پره‌هایی با مقطع آیرودینامیکی جایگزین شده است تا ممتوم با حداقل آشفستگی به سیال منتقل شود. از یک هسته مرکزی در کانال حلقوی استفاده می‌شود تا جریان سیال با کمترین تلفات درون محفظه به چرخش درآید. هسته مرکزی به عنوان پوسته پرها، از تلفات ناشی از تشکیل گردابه‌ها در نوک پرها نیز می‌کاهد [11]. در شکل (۲) نحوه حرکت سیال در کمپرسور با پره‌های آیرودینامیکی نشان داده شده است.

نیز که بر مبنای شکل هندسی حرکت المان سیال در این نوع از ماشین‌های بازتولیدکننده استوار بود، توسط نژادعلی ارائه شد [12].

با پیشرفت کامپیوترها و امکان شبیه‌سازی عددی جریان سیال، کارهای متعددی برای پیش‌بینی و نیز بهبود عملکرد توربوماشین‌های بازتولیدکننده انجام شد. اما بیشتر تحلیل‌های عددی روی پمپ‌های بازتولیدکننده تمرکز داشتند و تعداد مقالاتی که کمپرسورهای بازتولیدکننده را بررسی کنند، اندک است. بادامی و همکاران از دینامیک سیالات محاسباتی برای درک بهتر حرکت سیال در یک کمپرسور بازتولیدکننده استفاده شده در یک پیل سوختی بهره بردند و نتایج را با تئوری یک بعدی مقایسه کردند [13]. ژانگ و همکاران از روش تولید اتروپی برای بررسی تلفات در اجزای مختلف یک پمپ بازتولیدکننده استفاده کردند [14]. نژادعلی و همکاران اثر شکل پرها در پمپ رزوناتیو با پره‌های شعاعی را به صورت آزمایشگاهی بررسی و زاویه بهینه را برای پرها ارائه کردند [15]. هئو مانوونگ و همکاران از روش بهینه‌سازی چندهدفه برای بهبود هم‌زمان آیرودینامیکی و آیروآکوستیکی یک کمپرسور کانال جانبی بازتولیدکننده با پره‌های شعاعی استفاده کردند [16]. وانگ و چوی اثر هندسه پرها و هاب را بر عملکرد دمنده بازتولیدکننده تحلیل کردند و با استفاده از این ۲ پارامتر هندسی، بازده ماشین را ارتقا دادند [17]. جانگ و لی یک طراحی بهینه برای دمنده بازتولیدکننده جهت ساخت سیستم پیل سوختی ارائه کردند. آن‌ها از روش تقریب پاسخ سطح و شبیه‌سازی سه بعدی جریان سیال برای بهینه‌سازی فشار و بازده دمنده استفاده کردند. ۲ پارامتر زاویه الحاقی و تعداد پرها به عنوان متغیر طراحی در کار آن‌ها در نظر گرفته شد [18]. میخاییل و همکاران اثر زاویه ورودی پره بر عملکرد دمنده بازتولیدکننده ساده با پره‌های شعاعی را به کمک

توربولانس استفاده شده است. الگوی جریان سیال در کمپرسور در شرایط مختلف عملکرد تحلیل شد. هدف اصلی مقاله بررسی اثر تغییر در زوایای ورودی و خروجی پره ها، ارتفاع پره ها و نیز تعداد پره ها بر عملکرد و بازده کمپرسور است. برای این منظور از پره های آیرودینامیکی متقارن با زوایای ورودی و خروجی یکسان استفاده شده است. شبیه سازی جریان سیال در زوایای مختلف انجام شده است و نتایج ارائه شدند.



شکل ۲ کمپرسور بازتولیدکننده با پره های آیرودینامیکی [4]

توصیف مدار تست و هندسه کمپرسور

بازتولیدکننده با پره های آیرودینامیکی

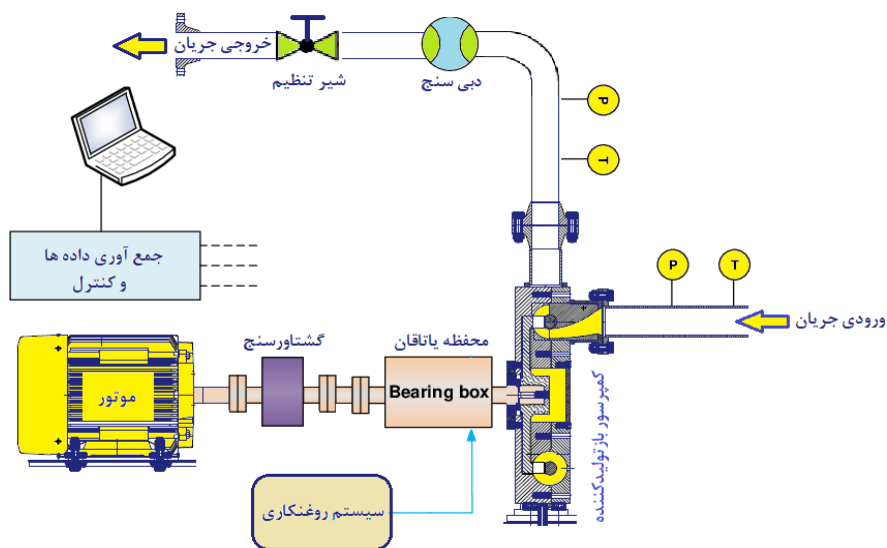
هندسه اولیه کمپرسور بازتولیدکننده بررسی شده براساس مدل آزمایشگاهی موجود استخراج شد. در شکل (۳-الف) مجموعه آزمایشگاهی آماده شده برای اندازه گیری و استخراج منحنی های عملکرد کمپرسور ارائه شده است. شماتیک مدار آزمایش کمپرسور در شکل (۳-ب) قابل مشاهده است. مشخصات طراحی و عملکردی دستگاه در جدول (۱) آورده شده است. پروفیل پره ها در این کمپرسور به شکل ایرفویل های ضربه ای طراحی شده که در شکل (۴) نشان داده شده است.

با وجود همه مزایایی که توربوماشین های بازتولیدکننده دارند، این دسته از ماشین های دوار بازدهی پایینی نسبت به سایر توربوماشین ها دارند. بنابراین مطالعه رفتار این ماشین ها برای بهبود عملکرد و بازدهی مورد توجه بسیاری از محققان قرار گرفته است.

باتوجه به مطالعات اندک در زمینه کمپرسورهای بازتولیدکننده با پره های آیرودینامیکی، در این مقاله به مطالعه و تحلیل این دسته از کمپرسورها با استفاده از دینامیک سیالات محاسباتی پرداخته شده است. نتایج مطالعه عددی برای صحت سنجی با داده های تجربی به دست آمده از یک کمپرسور بازتولیدکننده با پره های آیرودینامیکی مقایسه شدند. باتوجه به الگوی پیچیده جریان از مدل آشفتگی SST برای مدل سازی جریان



(الف) مدار آزمایش

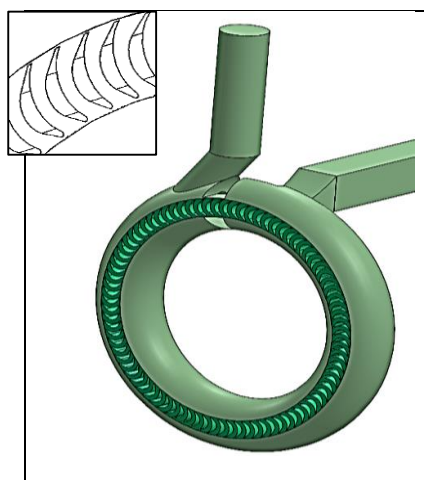


(ب) شماتیک مدار آزمایش

شکل ۳ دستگاه آزمایش کمپرسور باز تولید کننده

جدول ۱ مشخصات طراحی کمپرسور باز تولید کننده با پره های ایرودینامیکی

دبی جرمی نقطه طراحی	۰٫۲۲ کیلوگرم بر ثانیه
سرعت دورانی	۳۰۰۰ دور بر دقیقه
قطر پروانه	۴۶۰ میلی متر
زاویه بین ناحیه ورودی و خروجی	۱۶ درجه
لقی	۰٫۰۰۱ متر
تعداد پره ها	۸۵
ارتفاع پره ها	۳۴ میلی متر



شکل ۴ هندسه فضای محاسباتی کمپرسور باز تولید کننده

رینولدز، از کد تجاری انسیس سی اف ایکس ۱۹ که یک حلگر سه بعدی است که از کوپل کامل بین معادلات ممتوم و فشار برای حل بهره می برد، برای شبیه سازی عددی جریان استفاده شده است [24,25].

اساسی ترین نکته برای به دست آوردن معادلات ناویر-استوکس میانگین رینولدز از معادلات لحظه ای رینولدز، استفاده از تجزیه رینولدز، یعنی جداسازی متغیرهای جریان (همچون سرعت u) به مؤلفه متوسط زمانی و نوسانی سرعت است. فرم تانسوری معادلات ناویر-استوکس شامل معادله پیوستگی و ممتوم برای سیال نیوتنی به صورت متوسط زمانی در روابط (۱ و ۲) آورده شده است.

$$\frac{\partial \rho}{\partial t} + \frac{\partial \rho \bar{u}_i}{\partial x_i} = 0 \quad (1)$$

$$\frac{\partial \rho \bar{u}_i}{\partial t} + \frac{\partial \rho \bar{u}_i \bar{u}_j}{\partial x_j} = -\frac{\partial \bar{p}}{\partial x_i} + \frac{\partial}{\partial x_j} \left[\mu \left(\frac{\partial \bar{u}_i}{\partial x_j} + \frac{\partial \bar{u}_j}{\partial x_i} - \frac{2}{3} \delta_{ij} \frac{\partial \bar{u}_m}{\partial x_m} \right) \right] + \frac{\partial}{\partial x_j} (-\rho \bar{u}_i' \bar{u}_j')$$

برای دستیابی به دقت بهتر، روش کیفیت بالا (high resolution) برای گسسته سازی معادلات ممتوم و آشفتگی به کار گرفته شده است.

برای تولید شبکه محاسباتی که یکی از مراحل مهم در شبیه سازی عددی جریان محسوب می شود، همان طور که در شکل (۴) نشان داده شد، فضای محاسباتی به ۲ بخش شامل محفظه جریان و پروانه تقسیم شده است. هر یک از این بخش ها به صورت جداگانه شبکه بندی شدند. در طی مراحل شبکه بندی سعی شد کیفیت تعامل، چولگی (Skewness) و نسبت منظری در محدوده مجاز قرار گیرند. برای این کار چولگی زیر ۰/۹ و نسبت منظری کمتر از ۵:۱ در نظر گرفته شدند. از مش شش وجهی برای پروانه کمپرسور و مش چهاروجهی

عدم قطعیت دماسنج ها ± 0.15 درجه سانتی گراد بوده است و فشارها با خطای کلی کمتر از ± 0.25 درصد اندازه گیری شدند. عدم قطعیت در اندازه گیری دبی جریان کمتر از ± 2 درصد گزارش شده است. دقت توان اندازه گیری شده حدود ۱ درصد بوده است.

بر اساس آنالیز عدم قطعیت، اگر کمیت R به n متغیر وابسته باشد،

$$B = B(x_1, x_2, \dots, x_n) \quad (1)$$

میزان عدم قطعیت کل با استفاده از رابطه زیر قابل محاسبه است.

$$\xi_R = \left[\left(\frac{\partial B}{\partial x_1} \xi_1 \right)^2 + \left(\frac{\partial B}{\partial x_2} \xi_2 \right)^2 + \dots + \left(\frac{\partial B}{\partial x_n} \xi_n \right)^2 \right]^{1/2} \quad (2)$$

نتایج آنالیز عدم قطعیت با استفاده از رابطه (۲) برای محاسبه بازده در جدول (۲) آورده شده است.

جدول ۲ آنالیز عدم قطعیت

دبی جریان (m^3/hr)	بازده	عدم قطعیت
۲۸۹,۶۶	۰,۱۷۲	۰,۰۲۵۶
۳۷۴,۹۷	۰,۲۱۸	۰,۰۲۵۴
۴۸۳,۳۱	۰,۲۵۷	۰,۰۲۴۶
۵۷۶,۰۹	۰,۲۷۵	۰,۰۲۳۲
۶۷۰,۰۱	۰,۲۸۱	۰,۰۱۹۷

در شکل (۴) هندسه فضای محاسباتی استخراج شده از کمپرسور نشان داده شده است. همان گونه که ملاحظه می شود، پروفیل اولیه پره ها بر اساس پره های آیرودینامیکی ضربه ای طراحی و ساخته شده است.

شبیه سازی عددی. در این آنالیز عددی برای حل کامل سه بعدی معادلات ناویر-استوکس میانگین گیری شده

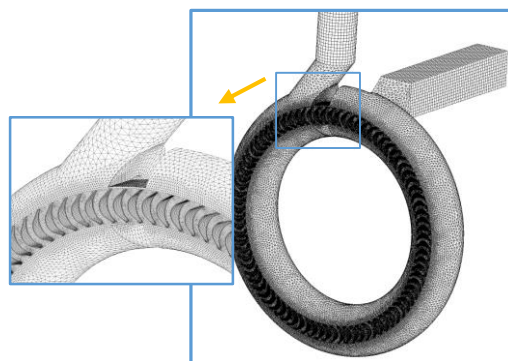
[13,17,19,26] و انتقال تنش برشی (SST) [6,16,18,20] برای شبیه‌سازی جریان سیال در کمپرسور بازتولیدکننده استفاده شده‌اند. در مطالعه عددی حاضر، باتوجه به الگوی پیچیده جریان و وجود جریان گردابی در کمپرسور بازتولیدکننده و نیز ویژگی مدل انتقال تنش برشی در ترکیب ۲ مدل توربولانسی $k-\varepsilon$ در نواحی دور از دیواره و $k-\omega$ برای نواحی نزدیک دیواره، از مدل توربولانسی SST برای حل معادلات آشفتگی استفاده شده است. مدل $k-\omega$ و شکل تبدیل‌یافته مدل $k-\varepsilon$ هر دو در یک تابع آمیختگی ضرب و آن‌گاه باهم جمع می‌شوند. تابع آمیختگی طوری طراحی شده است که در نزدیکی دیواره دارای مقدار یک (که باعث فعال‌شدن مدل $k-\omega$ می‌شود) و در نواحی دور از دیواره دارای مقدار صفر (که باعث فعال‌شدن شکل تبدیل‌یافته مدل $k-\varepsilon$ می‌شود) است.

با ضرب مدل $k-\omega$ در تابع آمیختگی F_1 و نیز ضرب تابع $(1 - F_1)$ در مدل تبدیل‌یافته $k-\varepsilon$ معادلات انرژی جنبشی توربولانس و نرخ پراکندگی به شکل زیر نوشته می‌شود:

$$\frac{\partial}{\partial t}(\rho k) + \frac{\partial}{\partial x_j}(\rho k U_j) = \frac{\partial}{\partial x_j} \left[\left(\mu + \frac{\mu_t}{\sigma_{k3}} \right) \frac{\partial k}{\partial x_j} \right] + P_k - \beta' \rho k \omega + P_{kb} \quad (3)$$

$$\frac{\partial(\rho \omega)}{\partial t} + \frac{\partial(\rho \omega U_j)}{\partial x_j} = \frac{\partial}{\partial x_j} \left[\left(\mu + \frac{\mu_t}{\sigma_{\omega 3}} \right) \frac{\partial \omega}{\partial x_j} \right] + (1 - F_1) 2\rho \frac{1}{\sigma_{\omega 2} \omega} \frac{\partial k}{\partial x_j} \frac{\partial \omega}{\partial x_j} + \alpha_3 \frac{\omega}{k} P_k - \beta_3 \rho \omega^2 + P_{\omega b} \quad (4)$$

برای محفظه جریان استفاده شده است. از خوشه‌بندی مش در نواحی مهم مانند ناحیه بین کانال و پروانه استفاده شده است. ۵ سلول در ناحیه لایه مرزی منظور شده است. شبکه‌بندی فضای محاسباتی در شکل (۵) نشان داده شده است.



شکل ۵ شبکه‌بندی فضای محاسباتی

در تحلیل عددی پیش‌رو، هوا در ۲۵ درجه سانتی‌گراد به عنوان سیال عامل در نظر گرفته شده است. از شرط مرزی فشار کل ثابت در ناحیه ورودی استفاده شده است. برای ناحیه خروجی، شرط مرزی دبی جرمی به کار گرفته شده است. شرط مرزی دیواره بدون لغزش برای سایر نواحی مرزی منظور شد. دامنه کانال جریان به صورت ثابت و دامنه پروانه به صورت چرخان با سرعت دورانی ۳۰۰۰ دور بر دقیقه در نظر گرفته شده است. برای شبیه‌سازی جریان به صورت شبه‌پایا، شبکه‌های بین پروانه و محفظه جریان به وسیله شرط سطح مشترک روتور بی‌حرکت (Frozen rotor) معرفی شدند. معیار هم‌گرایی حل، در حداکثر باقی‌مانده 10^{-4} تنظیم شد.

برای مدل‌سازی آشفتگی (توربولانس) در شبیه‌سازی کمپرسور بازتولیدکننده، تألیفات موجود و روش‌های استفاده‌شده پژوهشگران بررسی شد. طبق تحقیقات، ۲ مدل توربولانس $k-\varepsilon$ استاندارد

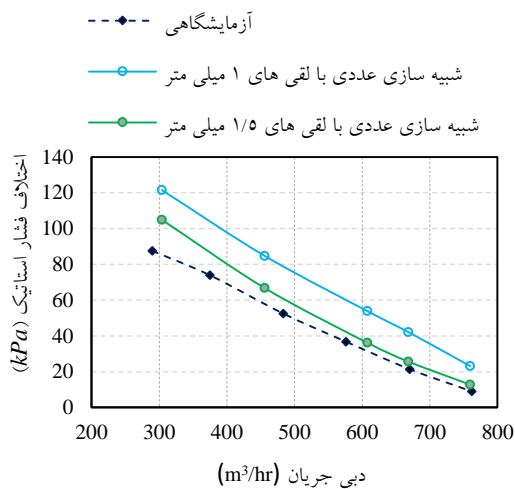
$$\lambda = \frac{Q}{8\omega r_2^3} \quad (7)$$

$$\phi = \frac{\dot{m}}{4 r_2^2 P_{In}} \sqrt{\frac{RT_{in}}{\gamma}} \quad (8)$$

$$\eta_{iso} = \frac{\dot{m} R T_{in} \ln \frac{P_{Out}}{P_{In}}}{T_{sh} \omega} \quad (9)$$

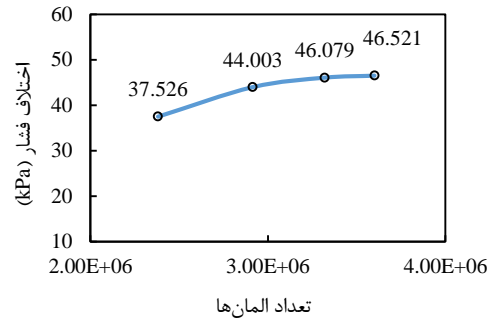
در این تحلیل، باتوجه به ثابت بودن سرعت دورانی، قطر پروانه و شرایط گاز ورودی، مقدار عدد ماخ نوک پروانه ثابت و برابر با ۰/۲۱ است.

اعتبارسنجی نتایج عددی با استفاده از داده های تجربی. برای اعتبارسنجی، منحنی های عملکرد کمپرسور بازتولیدکننده به دست آمده از شبیه سازی عددی جریان سیال، با داده های آزمایشگاهی کمپرسور مقایسه شدند. وجود لقی ها در فضای بین هسته و پروانه، فضای بین استریپر و پروانه و همچنین سایر قسمت های کمپرسور، می تواند موجب بروز تلفات بسیاری شود که حاصل آن افت فشار خروجی و نیز کاهش بازده است. برای بررسی دقیق تر، شبیه سازی عددی با در نظر گرفتن لقی های ۱/۵ میلی متر که به شرایط ساخت نزدیک تر است نیز انجام شده است.



الف) منحنی اختلاف فشار برحسب دبی جریان

جزئیات و چگونگی محاسبه ضرایب موجود در رابطه ۴ در مرجع [27] ارائه شده است.



شکل ۶ اختلاف فشار برحسب تعداد المان ها

برای بررسی وابسته نبودن نتایج به شبکه محاسباتی، شبکه محاسباتی در نظر گرفته شد. همان طور که در شکل (۶) ملاحظه می شود، با افزایش تعداد مش ها از $3,3 \times 10^6$ به $3,6 \times 10^6$ ، میزان اختلاف فشار ورودی و خروجی کمتر از ۱ درصد تغییر می کند. بنابراین تعداد المان حدود $3,3 \times 10^6$ برای انجام شبیه سازی ها در نظر گرفته شد.

نتایج و بحث

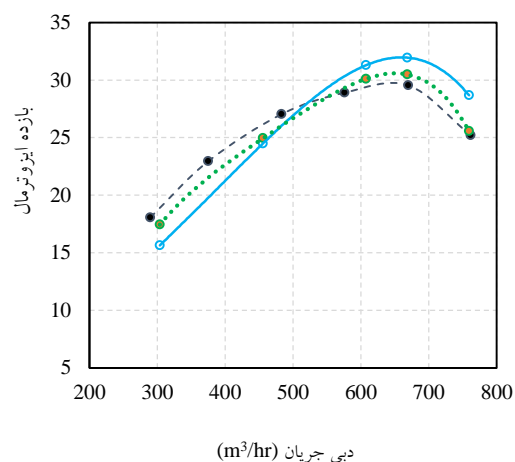
برای آن که نتایج این پژوهش مستند باشد، از اعداد بی بعد برای ارائه نتایج استفاده شده است. پارامترهای بی بعدی که در تحلیل عملکرد کمپرسورهای بازتولیدکننده استفاده می شوند، شامل عدد ماخ نوک پروانه، نسبت فشار، ضریب دبی جریان، دبی جرمی مخصوص و بازده هم دما هستند که به صورت روابط (۵) تا (۹) تعریف می شوند [28,29].

$$M_{OT} = \frac{r_2 \omega}{\sqrt{\gamma RT}} \quad (5)$$

$$\Pi = \frac{P_{Out}}{P_{In}} \quad (6)$$

جریان نشان می‌دهد. همان‌گونه که ملاحظه می‌شود، با افزایش دبی جریان، از تعداد چرخش سیال در کمپرسور کاسته شده است. با افزایش دبی جریان، باتوجه به ثابت بودن مقطع ورودی جریان سیال، میزان سرعت سیال در پره‌ها افزایش می‌یابد و در نتیجه سیال با سرعت بیشتری از پره‌ها خارج می‌شود. با افزایش سرعت سیال، مؤلفه مماسی سرعت خروجی از پره‌ها افزایش می‌یابد و سیال میزان جابه‌جایی بیشتری را در طول محفظه طی خواهد کرد و در نتیجه تعداد دفعات چرخش کاهش می‌یابد. در شکل (۹) نحوه تغییر فشار در راستای یک خط جریان (خط جریان رسم شده در شکل ۸) نشان داده شده است. در هر ۳ منحنی در ابتدا افت اندک در فشار سیال در ناحیه ورودی مشاهده شده است. پس از این ناحیه، سیال شتاب می‌گیرد و به تدریج به میزان فشار سیال افزوده می‌شود. نوساناتی که در منحنی‌ها مشاهده می‌شود، نشان‌دهنده تعداد دفعاتی است که سیال در محفظه و پروانه به چرخش در آمده است. در واقع، با هربار خروج از پره‌ها فشار سیال افزایش می‌یابد و در مسیر چرخش در محفظه اندکی دچار افت فشار می‌شود. این چرخه ادامه می‌یابد تا سیال از دهانه خروجی کمپرسور خارج شود. در دهانه خروجی نیز اندکی افت فشار وجود دارد.

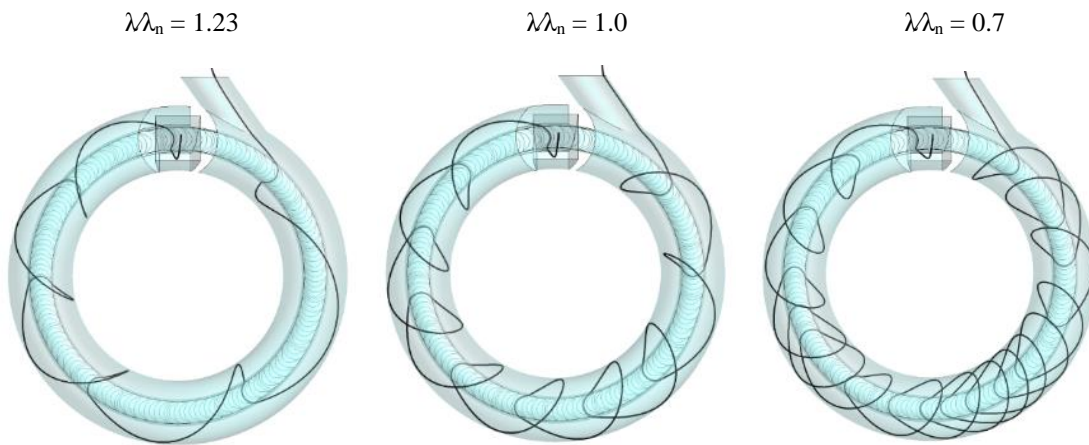
شکل (۱۰) روند تغییرات سرعت سیال در کمپرسور را نشان می‌دهد. در این شکل نیز نوسانات مشاهده شده به نواحی ورود و خروج پره‌ها مربوط است. نقاط فراز منحنی‌ها مربوط به ناحیه خروجی پره‌ها و نقاط فرود، مربوط به سرعت سیال در قسمت ورودی پره‌هاست. واضح است که با افزایش دبی جریان، از تعداد نوسان‌ها کاسته شده است.



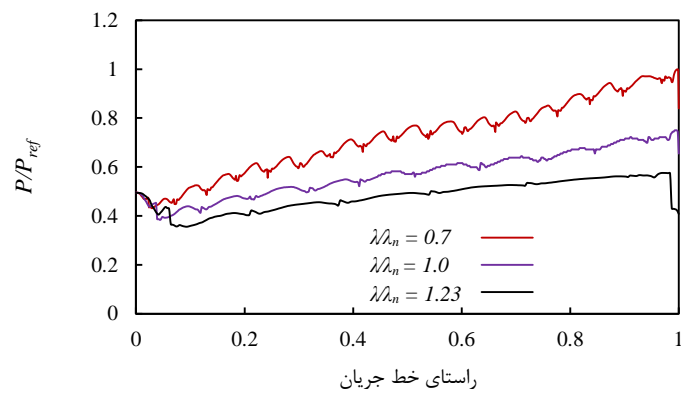
ب) منحنی بازده هم‌دمای برحسب دبی جریان
شکل ۷ مقایسه منحنی‌های عملکرد نتایج شبیه‌سازی عددی با داده‌های آزمایشگاهی

مقایسه منحنی‌های عملکرد در شکل (۷) نشان می‌دهد که نتایج شبیه‌سازی عددی تطابق قابل قبولی با داده‌های آزمایشگاهی دارد و به دلیل افزایش میزان لقی‌ها در نمونه ساخته شده نسبت به طراحی اولیه، در عملکرد کمپرسور بازتولیدکننده افت مشاهده شده است. همچنین طبق اندازه‌گیری‌ها، در دبی‌های پایین به دلیل افزایش گشتاور روی محور، اندکی از میزان سرعت دورانی کاسته می‌شود. بنابراین، اختلاف مشاهده شده در منحنی‌های عملکرد به دلیل وجود تلفاتی است که در شرایط ساخت و آزمایشگاهی وجود داشته است و در شبیه‌سازی عددی در نظر گرفته نشدند. در ادامه این پژوهش، هندسه طراحی اولیه با لقی‌های حداکثر ۱ میلی‌متر به عنوان هندسه مبنا استفاده شده است.

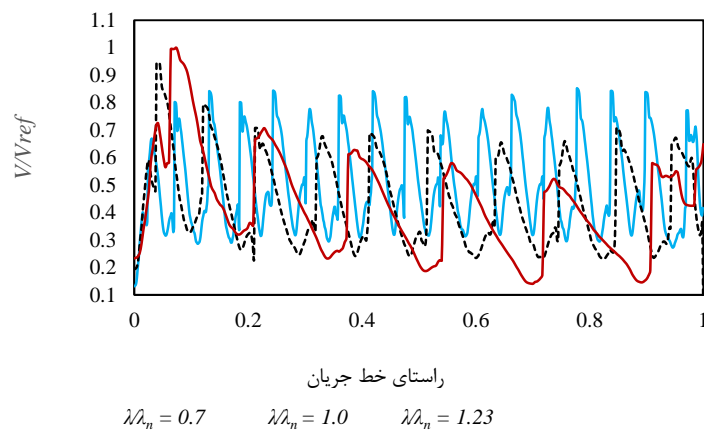
تحلیل الگوی جریان. برای بررسی الگوی جریان در کمپرسور بازتولیدکننده با پره‌های آیرودینامیکی، وضعیت خطوط جریان در ۳ ضریب دبی جریان مختلف ارائه شده است. شکل (۸) خطوط جریان آغاز شده از مرکز ناحیه ورودی در کمپرسور را در ۳ نسبت ضریب



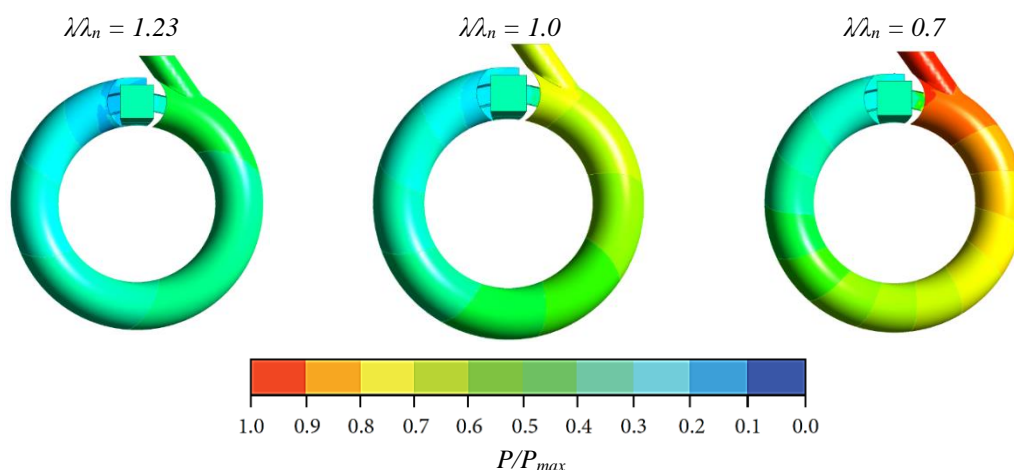
شکل ۸ خطوط جریان در ضرایب دبی مختلف



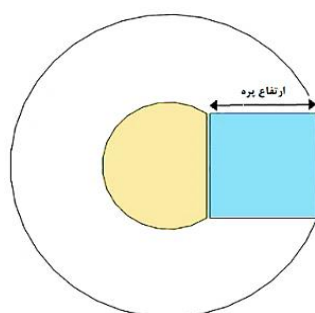
شکل ۹ تغییرات فشار در راستای خط جریان رسم شده از مرکز سطح ورودی



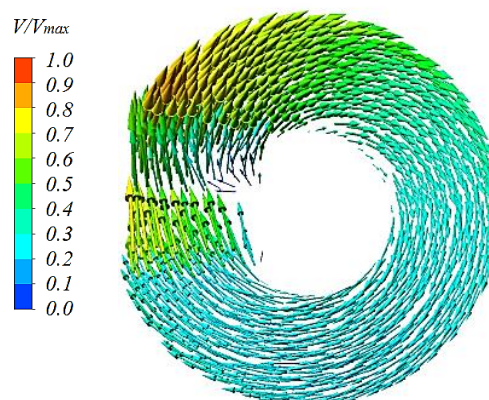
شکل ۱۰ تغییرات سرعت در راستای خط جریان



شکل ۱۱ کانتور فشار در ضرایب دبی مختلف



شکل ۱۳ معرفی ارتفاع پره



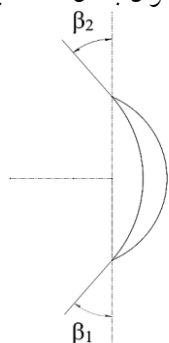
شکل ۱۲ بردارهای سرعت در مقطع کانال جریان

اثر ارتفاع پره بر عملکرد کمپرسور. برای بررسی اثر ارتفاع پره (در شکل ۱۳ معرفی شده است) بر عملکرد کمپرسور، مقدار ارتفاع پره از ۳۴ میلی‌متر به ۲۸ میلی‌متر کاهش یافت. برای کاهش ارتفاع لازم است هسته مرکزی به سمت پره جابه‌جا شود تا فضای ایجاد شده به واسطه تراش پروانه را پر کند. با این کار، مقطع کانال جریان به صورت هم‌گرا-واگرا خواهد شد که به طور طبیعی تلفات مضاعفی ایجاد خواهد کرد. برای اجتناب از این تلفات، قطعه‌ای به ضخامت ۶ میلی‌متر به هسته مرکزی اضافه شد تا فضای خالی ایجاد شده را پر کند. طبق نتایج، همان‌طور که در شکل (۱۴) مشاهده می‌شود، کاهش ارتفاع پره سبب کاهش نسبت فشار کمپرسور شده است. همچنین از میزان راندمان نیز کاسته شده است.

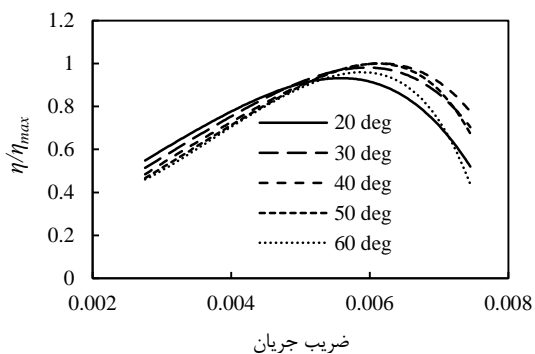
کانتور تغییر فشار سیال در کمپرسور برای شرایط مختلف دبی ورودی در شکل (۱۱) نشان داده شده است. روند افزایش تدریجی فشار سیال با هربار چرخش، در شکل (۱۱) مشهود است. براساس نتایج تحلیل عددی و شبیه‌سازی جریان سیال در کمپرسور بازتولیدکننده، افزایش تعداد چرخش سیال در دبی مشخص می‌تواند کارایی کمپرسور بازتولیدکننده را بهبود بخشد.

در شکل (۱۲) بردارهای سرعت در مقطع کانال جریان کمپرسور نشان داده شده است. الگوی حرکت مارپیچی سیال در این شکل کاملاً مشخص است. همچنین کاهش تدریجی سرعت سیال از قسمت خروج از پره‌ها تا ناحیه ورود به پره‌ها در این شکل مشهود است.

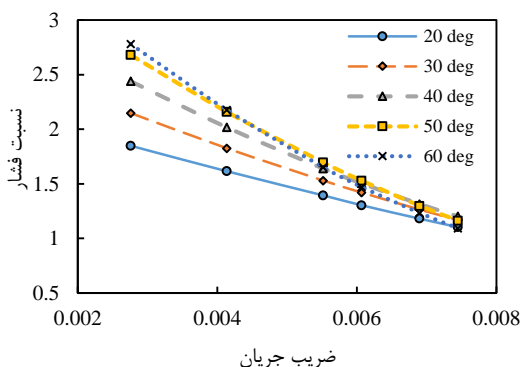
زاویه ۶۰ درجه روند معکوس شده است. مقایسه منحنی های نسبت فشار در شکل (۱۷) نشان می دهد که با افزایش زاویه پره از ۲۰ تا ۵۰ درجه نسبت فشار به تدریج افزایش می یابد، اما در زاویه ۶۰ درجه تفاوت قابل ملاحظه ای نسبت به زاویه ۵۰ درجه مشاهده نمی شود. می توان نتیجه گرفت زاویه بهینه ای برای پره ها در این دامنه وجود داشته باشد که با یک آنالیز رگرسیون در نقطه طراحی، می توان به آن دست یافت.



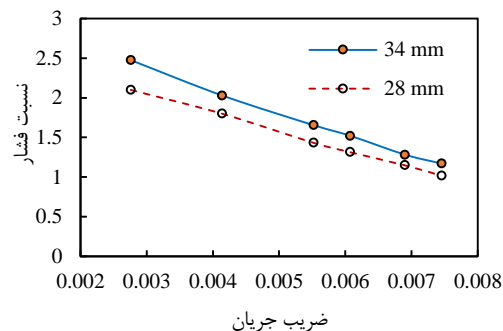
شکل ۱۵ پره های آیرودینامیکی با زوایای ورودی و خروجی یکسان



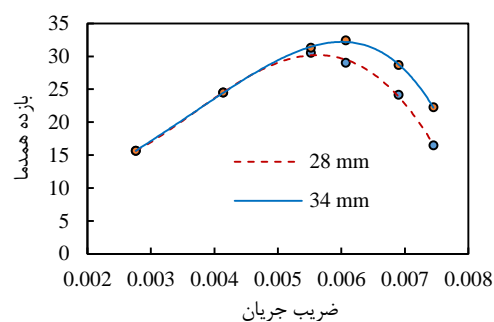
شکل ۱۶ منحنی بازده همدم برحسب ضریب جریان برای زوایای مختلف پره ها



شکل ۱۷ نسبت فشار برحسب ضریب جریان برای زوایای مختلف پره ها



الف) منحنی اختلاف فشار برحسب ضریب جریان

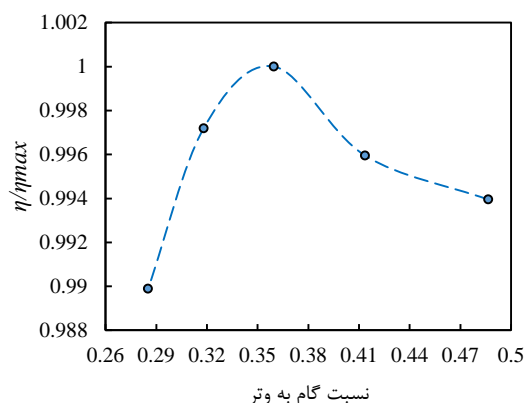


ب) منحنی بازده همدم برحسب ضریب جریان

شکل ۱۴ مقایسه منحنی های عملکرد در ۲ حالت ارتفاع پره ها

چهار اثر زاویه پره های آیرودینامیکی متقارن بر عملکرد کمپرسور. برای بهبود عملکرد کمپرسور بازتولیدکننده، اثر زاویه پره ها تحلیل و بررسی شد. بنابراین، از پره های آیرودینامیکی رایج در کمپرسور بازتولیدکننده [4,11,20] استفاده شده است. همان طور که در شکل (۱۵) مشاهده می شود، این پره ها به صورت متقارن با زوایای ورودی و خروجی یکسان طراحی می شوند. ۵ پره با زوایای ۲۰، ۳۰، ۴۰، ۵۰ و ۶۰ درجه طراحی شد و با استفاده از شبیه سازی عددی جریان سیال، اثر آنها بر عملکرد کمپرسور مطالعه شد. مقایسه منحنی های بازده همدم نرمال شده و نسبت فشار برحسب ضریب جریان در شکل های (۱۶) و (۱۷) ارائه شده است.

براساس منحنی های شکل (۱۶)، با افزایش زاویه پره ها از ۲۰ تا ۵۰ درجه، از مقدار بازده همدم در نقاط نزدیک به نقطه طراحی کاسته شده است. اما برای حالت



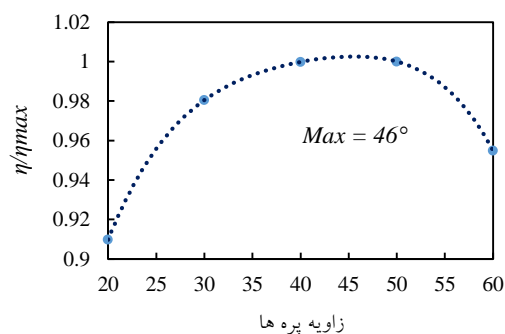
شکل ۱۹ بازده نرمال برحسب نسبت گام به وتر در ضریب جریان طراحی

نتیجه گیری

کمپرسورهای بازتولیدکننده از نوع توربوماشینهای دوار هستند که در سرعت‌های مخصوص بسیار پایین کاربرد دارند. این نوع کمپرسورها به صورت ذاتی و ساختاری راندمان پایینی دارند. در این مقاله با هدف بهبود کارایی، عملکرد کمپرسور بازتولیدکننده با پره‌های آیرودینامیکی به صورت عددی و آزمایشگاهی مطالعه شده است. الگوی پیچیده جریان سیال در کمپرسور با انتخاب مدل توربولانسی انتقال تنش برشی (SST) تحلیل و نتایج حل عددی برای صحت‌سنجی با داده‌های تجربی مقایسه شد. نتایج شبیه‌سازی‌های عددی نشان داد که کاهش ارتفاع پره سبب کاهش نسبت فشار و همچنین افت راندمان هم‌دمای کمپرسور می‌شود. برای مطالعه اثر زاویه پره‌ها بر عملکرد کمپرسور، پره‌های آیرودینامیکی متقارن با زوایای ورودی و خروجی ۲۰، ۳۰، ۴۰، ۵۰ و ۶۰ درجه طراحی و با استفاده از دینامیک سیالات محاسباتی ارزیابی شد. مشاهده خطوط جریان و نتایج تحلیل عددی جریان سیال نشان داد که افزایش زاویه پره، میزان افزایش فشار در هریار پیچش را ارتقا می‌بخشد، اما از تعداد چرخش سیال می‌کاهد. پس فشار خروجی برآیندی از ۲ پدیده ذکر شده خواهد بود. در نهایت با آنالیز رگراسیون مشخص شد که زاویه بهینه برای پره‌های

شکل (۱۸)، تغییرات بازده نرمال برحسب زاویه پره‌ها را برای نقطه طراحی کمپرسور نشان می‌دهد. براساس آنالیز رگراسیون ماکزیمم این منحنی در حدود زاویه ۴۶ درجه قرار می‌گیرد.

اثر تعداد پره‌ها بر عملکرد کمپرسور. برای بررسی اثر تعداد پره‌ها (z)، تعداد پره‌های کمپرسور از عدد ۸۵ به ۱۰۰، ۱۱۵، ۱۳۰، ۱۴۵ و ۱۶۰ تغییر کردند و در شرایط طراحی شبیه‌سازی عددی قرار گرفتند. برای کمپرسور بررسی شده در این پژوهش، بیشترین مقدار بازده در تعداد پره ۱۱۵ رخ داده است. از یک عدد بی‌بعد استفاده شده است تا نتایج مستقل از اندازه کمپرسور و قابل تعمیم باشد. این عدد بی‌بعد به صورت نسبت گام پره‌ها ($\pi D_m/z$) به وتر پره تعریف می‌شود. مهم‌ترین پارامترهایی که می‌تواند بر تعداد بهینه پره‌ها اثرگذار باشد، قطر پروانه و اندازه وتر پره‌هاست. به همین دلیل در این تحلیل سعی شد از پارامتری بی‌بعد که در توربوماشین‌های جریان محوری نیز برای یافتن تعداد بهینه پره‌ها استفاده می‌شود، استفاده شود که نسبت گام به وتر است. با این عدد بی‌بعد، اثر قطر پروانه و اندازه وتر نیز در محاسبات به کار گرفته می‌شود.



شکل ۱۸ بازده نرمال برحسب زاویه پره

در شکل (۱۹) تغییرات بازده نرمال برحسب نسبت گام به وتر در ضریب جریان نقطه طراحی نشان داده شده است. براساس آنالیز رگراسیون، بیشترین بازده برای نسبت گام به وتر ۰.۳۶ اتفاق می‌افتد.

ارتفاع پره، mm	h	آیرودینامیکی متقارن ۴۶ درجه است.
انرژی جنبشی آشفستگی، m^2s^{-2}	k	برای بررسی اثر تعداد پرها بر عملکرد کمپرسور
عدد ماخ نوک پروانه	M_{OT}	بازتولیدکننده، از عدد بی بعد نسبت گام به وتر استفاده
دبی جرمی، $kg\ s^{-1}$	\dot{m}	شد تا نتایج قابل بایگانی باشد. براساس نتایج تحلیل
فشار، Pa	p	عددی و آنالیز رگراسیون، مقدار بهینه که به ازای آن
نرخ تشکیل انرژی جنبشی آشفستگی m^2s^{-3}	P_k	مقدار بازده در نقطه طراحی بیشینه می شود، در نسبت
فشار بیشینه، Pa	P_{max}	گام به وتر حدود ۰٫۳۶ روی می دهد.
فشار مرجع، Pa	P_{ref}	
دبی حجمی جریان، m^3s^{-1}	Q	
ثابت گاز، $J\ kg^{-1}\ K^{-1}$	R	واژه نامه
شعاع بیرونی پروانه، m	r_2	Aero-foil blades پره های آیرودینامیکی
گام پرها	S	Boundary conditions شرایط مرزی
دمای ورودی، K	T_{in}	Compressor کمپرسور
گشتاور محور، Nm	T_{sh}	Finite volume method روش حجم محدود
سرعت لحظه ای به صورت تانسوری، ms^{-1}	u_i	Flow channel کانال جریان
سرعت متوسط به صورت تانسوری، ms^{-1}	\bar{u}_i	Flow coefficient ضریب دبی جریان
سرعت نوسانی به صورت تانسوری، ms^{-1}	u'_i	Flow path مسیر جریان
سرعت، ms^{-1}	V	Frozen rotor روتور بی حرکت
سرعت مرجع، ms^{-1}	V_{ref}	Governing equations معادلات حاکم
مختصات کارتزین به صورت تانسوری	x_i	Momentum exchange تبادل ممتوم
متغیر در محاسبه عدم قطعیت	x_n	Normalized efficiency بازده نرمال
ضخامت بی بعدشده لایه اول مجاور دیواره	y^+	Number of rotation تعداد چرخش
تعداد پرها	z	Numerical simulation شبیه سازی عددی
ضریب در معادله آشفستگی	α	Pitch to chord ratio نسبت گام به وتر
زاویه پره، deg و ضریب در معادله آشفستگی	β	Pressure ratio نسبت فشار
ضریب در معادله آشفستگی	β'	Shear Stress Transport انتقال تنش برشی
نسبت ظرفیت گرمایی	γ	Stream line خط جریان
نرخ پخش، m^2s^{-3}	ε	Stripper دیوار حائل
بازده هم دما	η_{iso}	Skewness چولگی
بازده بیشینه	η_{max}	Tangential velocity سرعت مماسی
ضریب جریان	λ	Turbulence آشفستگی
ضریب جریان نقطه طراحی	λ_n	Uncertainty عدم قطعیت
عدم قطعیت کل	ξ	
نسبت فشار	Π	فهرست علائم
ضریب در مدل آشفستگی SST	σ_ω	کمیت در محاسبه عدم قطعیت B
سرعت دورانی، $rad\ s^{-1}$	ω	وتر پره، m C
		قطر میانی پروانه، m D_m
		شتاب گرانش، ms^{-2} g

مراجع

1. Raheel, M.M., "A theoretical, experimental and CFD analysis of regenerative flow compressors and pumps for microturbine and automotive fuel applications", Michigan State University, (2003).
2. Engeda, A. and Raheel, M., "Theory and design of the regenerative flow compressor", *In Proceedings of the International Gas Turbine Congress*, November, (2003).
3. Badami, M. and Mura, M., "Setup and validation of a regenerative compressor model applied to different devices", *Energy Conversion and Management*, Vol. 52(5), pp. 2157-2164, (2011).
4. Song, J.W., Raheel, M. and Engeda, A., "A compressible flow theory for regenerative compressors with aerofoil blades. Proceedings of the Institution of Mechanical Engineers", *Part C: Journal of Mechanical Engineering Science*, Vol. 217(11), pp. 1241-1257, (2003).
5. Badami, M. and Mura, M., "Theoretical model with experimental validation of a regenerative blower for hydrogen recirculation in a PEM fuel cell system", *Energy Conversion and Management*, Vol. 51(3), pp. 553-560, (2010).
6. Lee, C., Kil, H.G. and Kim, K.Y., "The performance analysis method with new pressure loss and leakage flow models of regenerative blower", *International Journal of Fluid Machinery and Systems*, Vol. 8(4), pp.221-229, (2015).
7. Grabow, G., "Influence of the number of vanes and vane angle on the suction behavior of regenerative pumps", *In 5th Conference on Fluid Machinery*, Vol. 1, pp. 351-364, (1975).
8. Song, J.W., Engeda, A. and Chung, M.K., "A modified theory for the flow mechanism in a regenerative flow pump. Proceedings of the Institution of Mechanical Engineers", *Part A: Journal of Power and Energy*, Vol. 217(3), pp.311-321, (2003).
9. Meakhail, T. and Park, S.O., "An improved theory for regenerative pump performance. Proceedings of the Institution of Mechanical Engineers", *Part A: Journal of Power and Energy*, Vol. 219(3), pp. 213-222, (2005).
10. Raheel, M.M., "A theoretical, experimental and CFD analysis of regenerative flow compressors and pumps for microturbine and automotive fuel applications", (1969).
11. Sixsmith, H. and Altmann, H., "A regenerative compressor", *Trans. ASME, J. Engineering for Industry*, Vol. 99, pp. 637-647, (1997).
12. Nejadali, J., "Calculation of flow in incompressible regenerative turbo-machines with bucket form blades based on the geometry of flow path", *International Journal of Numerical Methods for Heat & Fluid Flow*, Vol. 29(8), pp. 2606-2621, (2019).
13. Badami, M. and Mura, M., "Comparison between 3D and 1D simulations of a regenerative blower for fuel cell applications", *Energy Conversion and Management*, Vol. 55, pp. 93-100, (2012).
14. Zhang, F., Appiah, D., Hong, F., Zhang, J., Yuan, S., Adu-Poku, K.A. and Wei, X., "Energy loss evaluation in a side channel pump under different wrapping angles using entropy production method", *International Communications in Heat and Mass Transfer*, Vol. 113, p. 104526, (2020).
15. Nejad, J., Riasi, A. and Nourbakhsh, A., "Efficiency improvement of regenerative pump using blade profile modification: Experimental study", *Proceedings of the Institution of Mechanical Engineers, Part E: Journal of Process Mechanical Engineering*, Vol. 233(3), pp. 448-455, (2019).
16. Heo, M.W., Seo, T.W., Shim, H.S. and Kim, K.Y., "Optimization of a regenerative blower to enhance

- aerodynamic and aeroacoustic performance”, *Journal of Mechanical Science and Technology*, Vol. 30(3), pp. 1197-1208, (2016).
17. Wang, C.H. and Choi, C.H., “Optimized design of regenerative blowers for enhanced efficiency”, In *ASME International Mechanical Engineering Congress and Exposition*, Vol. 44441, pp. 1241-1248, (2010).
 18. Choon-Man, J. and Jong-Sung, L., “Shape optimization of a regenerative blower used for building fuel cell system”, *Open Journal of Fluid Dynamics*, (2012).
 19. Mekhail, T.A.M., Dahab, O.M., Sadik, M.F., El-Gendi, M.M. and Abdel-Mohsen, H.S., “Theoretical, experimental and numerical investigations of the effect of inlet blade angle on the performance of regenerative blowers”, *Open Journal of Fluid Dynamics*, Vol. 5(03), p. 224, (2015),
 20. Griffini D, Salvadori S, Carnevale M, Cappelletti A, Ottanelli L, Martelli F., “On the development of an efficient regenerative compressor”, *Energy Procedia*, 2015 Dec 1; 82:252-7, (2015).
 21. Zhang, F., Böhle, M. and Yuan, S., “Experimental investigation on the performance of a side channel pump under gas-liquid two-phase flow operating condition”, *Proceedings of the Institution of Mechanical Engineers, Part A: Journal of Power and Energy*, Vol. 231(7), pp. 645-653, (2017).
 22. Moradi, R., Habib, E., Bocci, E. and Cioccolanti, L., “Investigation on the use of a novel regenerative flow turbine in a micro-scale Organic Rankine Cycle unit”, *Energy*, Vol. 210, p. 118519, (2020).
 23. Cantini, G. and Salvadori, S., “Numerical Characterization of the Performance Curve of a Regenerative Pump-as-Turbine”, *Journal of Engineering for Gas Turbines and Power*, Vol. 143(5), p. 051001, (2021).
۲۴. مفاخری، میثم، محمودی، مصطفی، جهرمی، مهدی، “شبیه‌سازی عددی اثر لقی نوک پره بر عملکرد کمپرسور جریان محوری. نشریه پژوهشی مهندسی مکانیک ایران”، ۹۶-۱۲۲: ۱۹(۲): (۱۳۹۶).
۲۵. مجدم، محمد، حاجیلوی بنیسی، علی، “مطالعه نظری و تجربی جریان در محفظه حلزونی کمپرسور جریان شعاعی”، علوم کاربردی و محاسباتی در مکانیک، ۱-۱۴: ۲۸(۱): (۱۳۹۵).
26. Jang, C.M. and Han, G.Y., “Enhancement of performance by blade optimization in two-stage ring blower”, *Journal of Thermal Science*, Vol. 19(5), pp. 383-389, (2010).
۲۷. صنیعی‌نژاد، مهدی، “مبانی جریان‌های آشفته و مدل‌سازی آن‌ها”، کتاب، انتشارات دانش‌نگار، چاپ دوم (۱۳۹۸)
28. Raheel, M. and Engeda, A., “Performance characteristics of regenerative flow compressors for natural gas compression application”, *Journal of Energy Resources Technology*, Vol. 127(1), pp. 7-14, (2005).
 29. Raheel, M., Engeda, A., Hamrin, D. and Rouse, G., “The performance characteristics of single-stage and multistage regenerative flow compressors for natural gas compression application”, *Proceedings of the Institution of Mechanical Engineers, Part C: Journal of Mechanical Engineering Science*, Vol. 217(11), pp. 1221-1239, (2003).

Parametric Study and Numerical Analysis of the Regenerative Compressor with Symmetric Aerodynamic Blades for Improving Performance

Jafar Nejadali¹

1. Introduction

Regenerative flow compressors or blowers also known as side channels are rotodynamic machines with the ability to produce high heads at low flow rates. They have performance curves with very stable features.

Depending on the shape of the blades and the cross section of the flow channel, there are different structures for regenerative compressors. One of the structures is the regenerative compressor with aero-foil blades shown in Figure 1. Due to more regular flow rotation and reduced losses, the regenerative compressor with aero-foil blades performs better than other regenerative turbomachines.

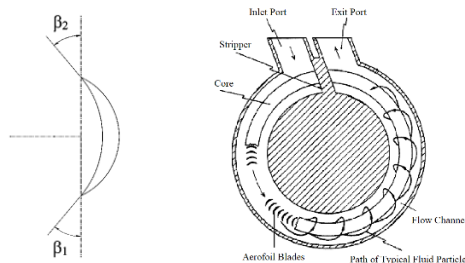


Figure 1. Regenerative compressor with aero-foil blades

Despite all the advantages of regenerative turbomachines, these machines usually have low isothermal efficiencies (less than 50 percent). This low efficiency is due to the numerous losses that are directly related to the geometric shape and operating principles of the machine. Therefore, the study of the behavior of these machines to improve performance and efficiency has been considered by many researchers. In this paper, these compressors are studied and analyzed using computational fluid dynamics. The main purpose of this study is to investigate the effect of changes in the inlet and outlet angles of the blades, the height of the blades and also the number of blades

on the performance and efficiency of the compressor. For this purpose, symmetrical aero-foil blades with the same inlet/output angles were used.

2. Model description and numerical simulation

The computational domain, as shown in Figure 2, is divided into two parts, including the flow channel and the impeller. Each of these sections was meshed separately.

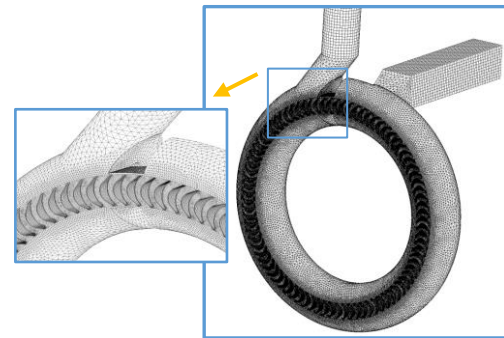


Figure 2. Computational grid

Due to the complex flow pattern and the presence of eddy current in the regenerative compressor, the SST turbulence model was used to solve the turbulence equations.

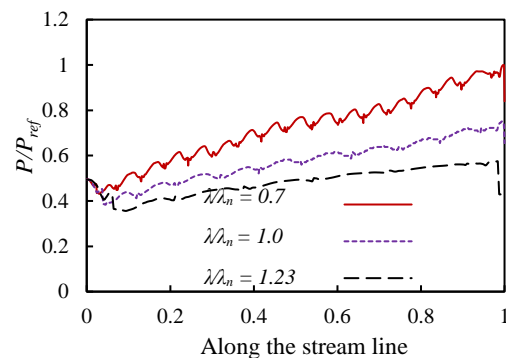


Figure 3. Pressure changes along the stream line drawn from the center of the inlet surface

Figure 3 shows how the pressure changes along a stream line (Figure 4). In all three curves, a slight drop in fluid pressure at the inlet area is initially observed. After this area, the fluid accelerates and gradually the amount of fluid pressure increases.

¹. Assistant Professor, Department of Mechanical Engineering, University of Mazandaran, Babolsar, Iran. Email: J.nejad@umz.ac.ir

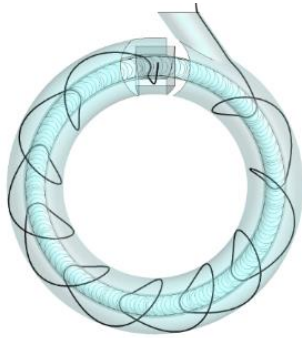


Figure 4: Stream line in the design flow coefficient

3. The results of parametric study

Effect of the height of the blades

Based on the numerical simulation results, as shown in Figure 5, reducing the blade height reduces the compressor pressure ratio. Efficiency has also been reduced.

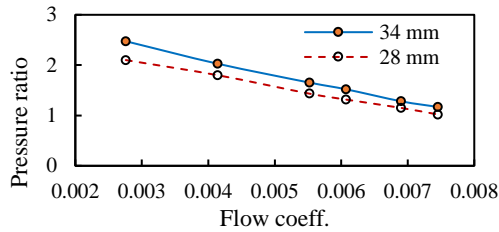


Figure 5. Pressure ratio vs flow coefficient

Effect of changes in the inlet and outlet angles

Five blades were designed with angles of 20, 30, 40, 50 and 60 degrees and their effects on compressor performance were studied using numerical simulation of fluid flow. Figure 6 shows a comparison of the pressure ratio curve in terms of flow coefficient.

Figure 7 shows the changes in normalized efficiency in terms of blade angles for the compressor design point. Based on regression analysis, the maximum of this curve is around an angle of 46 degrees.

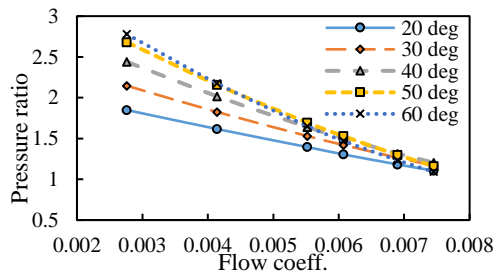


Figure 6. Pressure ratio vs flow coefficient at different blade angles

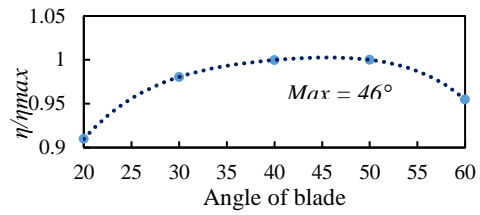


Figure 7. Normalized efficiency vs blade angle at design flow coefficient

The effect of the number of blades

To investigate the effect of the number of blades (z), a dimensionless number was used so that the results are independent of the size of the compressor and can be generalized. This dimensionless number is defined as the ratio of the pitch of the blades to the chord of the blade.

Figure 8 shows the normalized efficiency changes in terms of pitch -to-chord ratio at the design flow coefficient. According to regression analysis, the highest efficiency occurs for the pitch -to-chord ratio of 0.36.

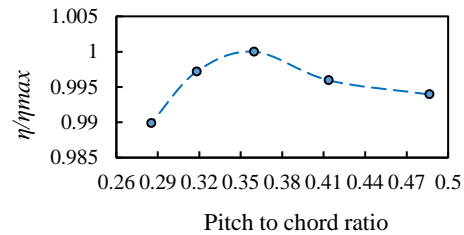


Figure 8. Normalized efficiency vs pitch-to-chord ratio at design flow coefficient

4. Conclusion

In this study, with the aim of improving the efficiency, the performance of the regenerative compressor with aero-foil blades was studied numerically. The results of numerical simulations showed that reducing the blade height reduces the pressure ratio and also decreases the compressor isothermal efficiency. Regression analysis showed that the optimal angle for symmetrical aerodynamic blades is 46°.

In order to investigate the effect of the number of blades on the performance of the regenerative compressor, a dimensionless number of pitch-to-chord ratio was used so that the obtained results could be archived. Based on the results of numerical analysis and regression analysis, the optimal value for which the value of efficiency is maximized at the design point occurs in the pitch-to-chord ratio of about 0.36.